

## چکیده

یک سری آزمایش‌های میز لرزه ۱g برای بررسی پاسخ مدل تونل متروی تبریز که یک تونل دایروی مدفون در ماسه خشک می‌باشد، تحت بارگذاری نامنظم با دامنه کم و امواج هارمونیک با دامنه بالا انجام شد. اثرات پارامترهای مختلف شامل شتاب ماکریتم زمین و محتوا فرکانسی حرکات ورودی روی رفتار تونل بررسی شد. آزمایش‌ها در دو شتاب ماکریتم زلزله ۰,۳۵g و ۰,۵g و فرکانس‌های ۱، ۳، ۵ و ۸ هرتز انجام شدند. نتایج آزمایش‌ها بر حسب نیروهای دینامیکی پوشش تونل و شتاب نقاط مختلف مدل ارائه شده است. نتایج نشان می‌دهد رفتار دینامیکی تونل‌های دایروی می‌تواند به دو مرحله تقسیم‌بندی شود: مرحله ناپایدار در طی چندین سیکل اول و مرحله سیکل‌های پایدار که در طی آن نیروها در پوشش تونل حول مقدار میانگین نوسان می‌کند. به علاوه، اندازه‌گیری‌های آزمایش‌های میز لرزه نشان می‌دهد با افزایش فرکانس بارگذاری برای شتاب  $A=0.35g$ ، لنگر ماکریتم ایجاد شده در پوشش تونل ثابت مانده یا اندک کاهش می‌یابد اما برای  $A=0.50g$ ، لنگر ماکریتم به شدت کاهش می‌یابد. شتاب افقی ثبت شده در چندین تراز نشان می‌دهد که تقویت سطحی به وسیله حفره تونل انجام می‌گیرد که به عنوان مانع در جهت گسترش امواج برشی به سمت بالا عمل می‌کند.

**واژگان کلیدی:** تونل مترو، شهر تبریز، مدل‌سازی فیزیکی، میز لرزه، رفتار لرزه‌ای.

## بررسی رفتار لرزه‌ای تونل مترو دایروی در ماسه خشک توسط آزمایش‌های میز لرزه

### مجید فرین

دانشجوی دکتری هوتونکنیک، دانشکده مهندسی عمران، دانشگاه تبریز

### مسعود حاجی علیلوی بناب (نویسنده مسئول)

استاد دانشکده مهندسی عمران، دانشگاه تبریز  
*hajialilue@tabrizu.ac.ir*

## ۱- مقدمه

بارگذاری لرزه‌ای در تحقیقات آورده شده است [۲-۵]. تنها تعداد کمی از این آزمایش‌ها شامل اندازه‌گیری نیروهای داخلی بودند [۶]. کائو و هوانگ [۷] نمودار تاریخچه زمانی کرنش تونل تحت بار لرزه‌ای را نشان دادند. آنها نتیجه گرفتند که عملکرد زمین و تونل بستگی به شدت تحریک‌های اعمال شده و همچنین موزهای فیزیکی مدل سانتریفیوژ دارد. همچنین پاسخ زمین تحت شرایط میدان آزاد و وجود تونل در مدل متفاوت است. لائزنو و همکاران [۸] رفتار لرزه‌ای تونل‌ها را به وسیله یک سری آزمایش‌های سانتریفیوژ کرنش مسطح به وسیله بارگذاری دینامیکی روی مدل تونل ارزیابی کردند. آنها پاسخ نمونه‌ای از ماسه ریز یکنواخت را که در دو دانسیته مختلف آماده شده بود، مطالعه کردند که در آن لوله آلیاژ آلومینیومی در دو عمق مختلف

مطابق رکوردهای ثبت شده، تسهیلات زیرزمینی نرخ آسیب کمتری از سازه‌های سطحی را تجربه کرده‌اند. با این وجود، برخی سازه‌های زیرزمینی آسیب عمده‌ای در زلزله‌های بزرگ اخیر دیده‌اند که شامل زلزله ۱۹۹۵ کوبه ژاپن، زلزله ۱۹۹۹ چی‌چی تایوان و زلزله ۱۹۹۹ کوجالی ترکیه می‌باشد. در سازه‌های زیرزمینی چنانچه نیروی سینماتیکی وارد به سازه توسط زمین اطراف به نیروهای اینرسی ناشی از نوسان خود سازه غلبه پیدا کند، پاسخ لرزه‌ای متفاوتی در مقایسه با سازه‌های سطح زمین از خود نشان می‌دهند [۱].

مدل‌سازی فیزیکی ممکن است برای به دست آوردن اطلاعات مهم و داده‌های کمی روی رفتار لرزه‌ای تونل‌های زیرزمینی کمک کند. تعدادی آزمایش فیزیکی مدل‌های تحت

همکاران [۱۱] با انجام آزمایش‌های میز لرزه و روش عددی به بررسی اثرات حضور تونل متروی شهر تهران بر پاسخ لرزه‌ای سطح زمین در محدوده رفتار خطی خاک پرداخته‌اند. آنها تأثیر تونل مترو بر الگوی بزرگنمایی شتاب و همچنین اثر آن بر طیف پاسخ شتاب در سطح زمین را مورد مطالعه قرار داده و اثر پارامترهای عمق تونل و سرعت موج برشی محیط بر میزان بزرگنمایی‌ها برای امواج واقعی زلزله را مورد مطالعه پارامتری قرار دادند.

تا کنون به دلیل پارامترهای متعددی که بر رفتار لرزه‌ای سازه‌های زیرزمینی تأثیر می‌گذارد، نتایج جامعی در این قسمت از نوشه‌های فنی وجود ندارد. بدین منظور هدف مطالعه حاضر انجام یک سری آزمایش‌های میز لرزه روی مدل تونل برای توسعه برخی از ابعاد مسئله است. در مطالعه حاضر، اثرات پارامترهای مختلف شامل محتوای فرکانسی حرکت ورودی و شتاب ماکریم زمین روی رفتار لرزه‌ای تونل متروی تبریز بررسی شده است. این آزمایش‌ها در قالب یک پروژه تحقیقاتی که به وسیله سازمان قطار شهری تبریز حمایت شده است، انجام شده‌اند.

## ۲- آزمایش‌های میز لرزه ۱g و تجهیزات وابسته

### ۲-۱- میز لرزه ۱g دانشگاه تبریز

میز لرزه آزمایشگاه مکانیک خاک دانشگاه تبریز با عرضه فولادی برابر با  $200 \times 300$  سانتی‌متر برای اعمال بارگذاری دینامیکی مطلوب به مدل استفاده شد. جک هیدرولیکی هوشمند<sup>۱</sup> متصل به میز، ظرفیت اعمال نیروی افقی تا ۱۲۰ کیلو نیوتون و توانایی حمل نمونه‌هایی تا وزن ۶۰ کیلو نیوتون را دارد. این میز قادر به اعمال محدوده فرکانسی تحریک ورودی  $0/01$  تا  $20$  هرتز با دامنه جایه‌جایی  $100 \pm 100$  میلی‌متر و دامنه شتاب بیش از ۱g می‌باشد.

### ۲-۲- جعبه برش لایه‌ای<sup>۲</sup>

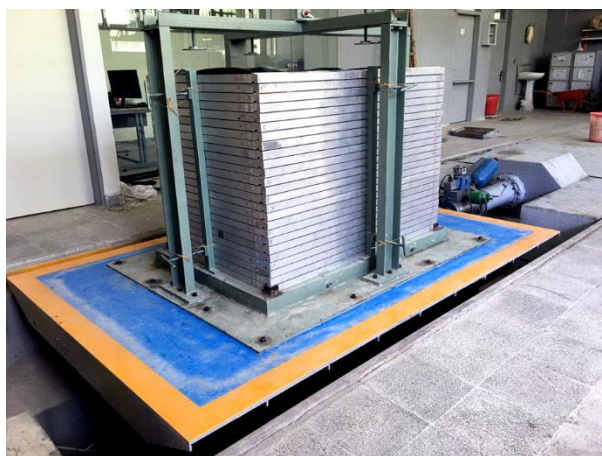
یک جعبه برشی لایه‌ای که در راستای این تحقیق در

نصب شده بود. لوژن و همکاران [۹] یک سری آزمایش میز لرزه در روی مدل تونل تأسیسات شهر شانگهای برای بررسی عملکرد آن تحت زلزله انجام دادند. ملاحظات اصلی برنامه آنها به صورت پاسخ سازه‌ای، پاسخ خاک، اندرکنش خاک و سازه و فشار خاک در رس غیراشباع بود. از شتاب‌سنجهای سلولی، حسگر اندازه‌گیری فشار خاک، مبدل‌های جایه‌جایی سیمی، حسگر جایه‌جایی لیزری و کرنش‌سنجهای در روی سازه، خاک و روی جعبه خاک به منظور اندازه‌گیری پاسخ سازه، خاک و جعبه برش استفاده شد. با توجه به نتایج آزمایش‌های دامنه پاسخ سازه کمی کمتر از دامنه خاک بود که سازگار با مشاهدات اندازه‌گیری صحرایی در طی زلزله بود. از لحاظ طیفی، طیف پاسخ سازه‌ای و پاسخ خاک تقریباً یکسان بودند. ماکریم کرنش در نزدیکی گوشه بالا و پایین دیوار کناری اتفاق می‌افتد و کرنش در وسط ارتفاع دیوارهای کناری تقریباً صفر است. نتایج نشان‌دهنده‌ی یک تغییر شکل برشی واضح مقطع تونل بود که یک پیچش مهم را روی گره‌های تونل ایجاد می‌کرد [۹]. در تحقیق دیگری، تیسینیدیس و همکاران [۱۰] یک سری آزمایش ساتریفیوژ دینامیکی بر روی تونل‌های مستطیلی مدفون در ماسه خشک انجام دادند. این آزمایش‌ها در دانشگاه کمبریج بر روی مدل‌های تونل مربعی مدفون در ماسه خشک انجام شد. نتایج آزمایش‌گاهی انجام شده برای درک بهتر رفتار لرزه‌ای سازه‌های مستطیلی مدفون و همچنین تأیید صحت مدل‌های عددی پیش‌رفته و بهبود روش‌های طراحی به کار بردند. با توجه به نتایج به دست آمده، شتاب‌های افقی ثبت شده در چندین محل به سمت بالا افزایش یافتدند. تاریخچه‌های زمانی شتاب قائم ثبت شده در طرفین مدل در دال سقف ناهم‌فاز بودند که نشان‌دهنده‌ی مدنوسانی ارتعاش تونل است. افزایش فشارهای خاک ثبت شده در گوشه‌های دیوار و دال بر اثر صلبیت بالای مدل در این محل‌ها نسبت به وسط دیوارها بالا بودند. لنگرهای خمسی دینامیکی از همان روند فشارهای دینامیکی خاک پیروی کردند و برای نیروهای محوری دینامیکی مقادیر باقیمانده کوچک‌تری مشاهده شد [۱۰]. بازیار و

سگمنت‌های بتن پیش ساخته پوشش درست در پشت سپر نصب می‌شوند [۱۲].

در مسیر مورد نظر، بر اساس مطالعات ژئوتکنیکی خط ۲ متروی تبریز، نوع خاک اساساً ML و SM است. مقطع زمین‌شناسی در امتداد مسیر تونل در شکل (۲) نشان داده شده است.

قوانين شبیه‌سازی آزمایش‌های میز لزه ۱g که توسط یا [۱۳] پیشنهاد شده است در مطالعه حاضر به کار گرفته شده

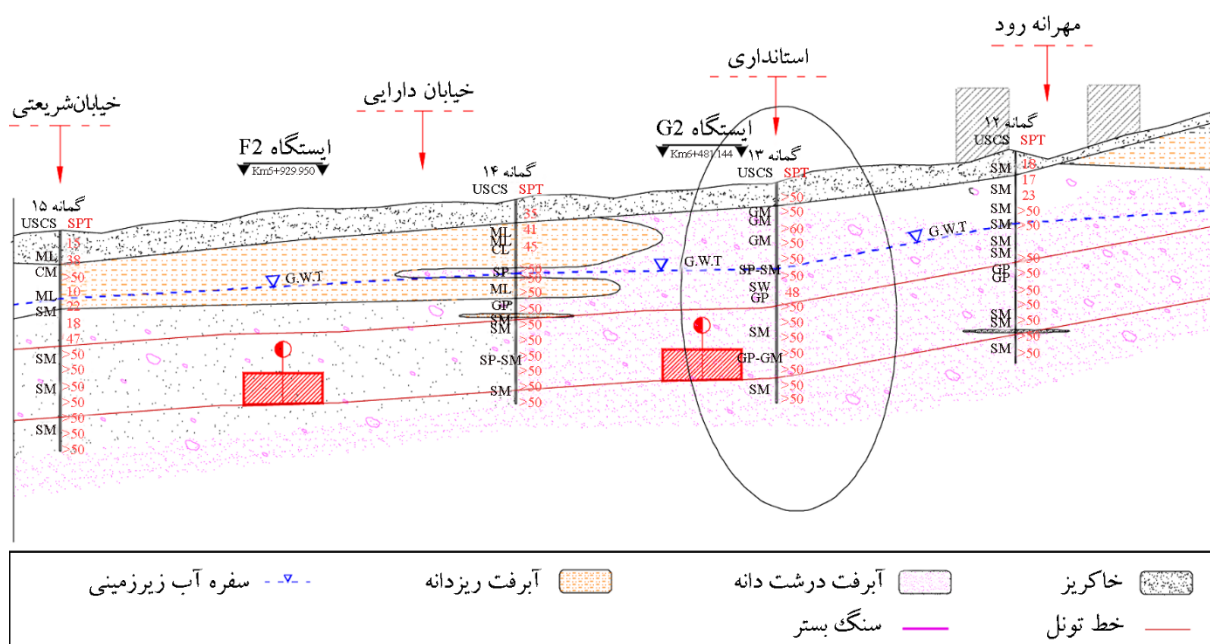


شکل (۱): تصویری از میز لزه دانشگاه تبریز به همراه جعبه برشی لایه‌ای نصب شده بر روی آن.

دانشگاه تبریز طراحی شد، برای این آزمایش‌ها استفاده شد. این جعبه دارای ۲۵ فریم آلومینیومی است که ابعاد داخلی هر یک ۱۳۲×۸۶۰ ارتفاع آنها  $\frac{3}{8}$  سانتی‌متر می‌باشد. به منظور کاهش اصطکاک بین فریم‌ها و شبیه‌سازی جایه‌جایی لایه‌های خاک، بین فریم‌های آلومینیومی از ساقمه‌های فلزی در داخل تسمه‌های لاستیکی استفاده شده است به نحوی که فاصله فریم‌ها از یکدیگر ۴ میلی‌متر می‌باشد. تصویری از میز لزه دانشگاه تبریز به همراه جعبه برش لایه‌ای مورد استفاده در شکل (۱) نشان داده شده است.

### ۳-۲- مقیاس آزمایش‌ها

خط ۲ قطار شهری تبریز (TURL2) با طولی در حدود ۲۲ کیلومتر قسمت شرقی شهر را به قسمت غربی آن متصل خواهد کرد. در این مطالعه از مشخصات تونل مترو خط ۲ در قسمت مرکزی آن بین ایستگاه‌های E2 و H2 استفاده شده است. تونل خط ۲ با استفاده از دستگاه تی‌بی‌ام با تعادل فشار زمین با قطر چرخش برابر با  $9/49$  متر و یک سپر با قطر خارجی  $9/46$  متر در قسمت جلوی دستگاه ساخته شده است.



شکل (۲): پروفیل زمین‌شناسی منطقه مورد بررسی به همراه محل انتخاب مدل مبنای.

بر اساس مشخصات نمونه اصلی، سرعت موج برشی در خاک محل (۵۸۵ متر بر ثانیه) و خاک مدل (۹۰ متر بر ثانیه) که بر اساس اندازه‌گیری زمان رسیدن موج برشی ایجاد شده در پایه مدل به محل شتاب‌سنج‌ها با فاصله معین از هم‌دیگر به دست آمد، ابعاد جعبه برش لایه‌ای و سایر پارامترهای مورد بررسی در مسئله، ضریب مقیاس نمونه اصلی به مدل برابر با  $\lambda = 45$  (۴۵ آزمایش‌ها در نظر گرفته شد؛ بنابراین  $45 \text{ متر} / 9\text{ متر} = 5$ ) آزمایش‌ها در نظر گرفته شد؛ آزمایش‌ها مدل سازی گردید. همچنین از فرض  $\lambda_m = 1$  که برای آزمایش‌های میز لرزه  $g = 1$  پیشنهاد شده است، استفاده گردید [۱۳]. نمونه اصلی یک تونل دایروی با قطر خارجی  $1/5$  متر، ضخامت  $0.35$  و طول رینگ  $9/20$  متر، می باشد که با اعمال روابط ذکر شده، مدل تونل مطابق شکل (۳) از آلیاژ آلومینیوم با قطر  $195/5$  میلی‌متر و ضخامت  $1/5$  میلی‌متر ساخته شد. مشخصات مدل در نمونه اصلی و مدل در جدول (۱) آورده شده است.



شکل (۳): مدل تونل.

جدول (۱): مشخصات تونل در نمونه اصلی و مدل.

مدل	نمونه اصلی	مشخصه
۱۹۷	۹۲۰۰	قطر خارجی (میلی‌متر)
۱۹۴	۸۵۰۰	قطر داخلی (میلی‌متر)
$1/5$	۳۵۰	ضخامت (میلی‌متر)
۶۹	$30/2$	مدول الاستیسیتی (GPa)
$0/3$	$0/2$	نسبت پواسون

است. با توجه به اینکه هدف تحقیق حاضر بررسی رفتار خمشی تونل تحت زلزله عرضی بود از شبیه‌سازی سختی خمشی مطابق معادله (۱) استفاده شد:

$$\frac{(EI)_p}{(EI)_m} = \frac{\lambda^4 \cdot \lambda_p}{\lambda_e} \quad (1)$$

که در آن  $(EI)_p$  سختی خمشی نمونه اصلی،  $(EI)_m$  سختی خمشی مدل،  $\lambda$  ضریب مقیاس هندسی،  $\lambda_p$  ضریب مقیاس دانسیته و  $\lambda_e$  ضریب مقیاس کرنش ارائه شده است. که ضریب مقیاس کرنش طبق رابطه (۲) به دست می‌آید:

$$\lambda_e = \frac{\lambda}{[(V_s)_p/(V_s)_m]^2} \quad (2)$$

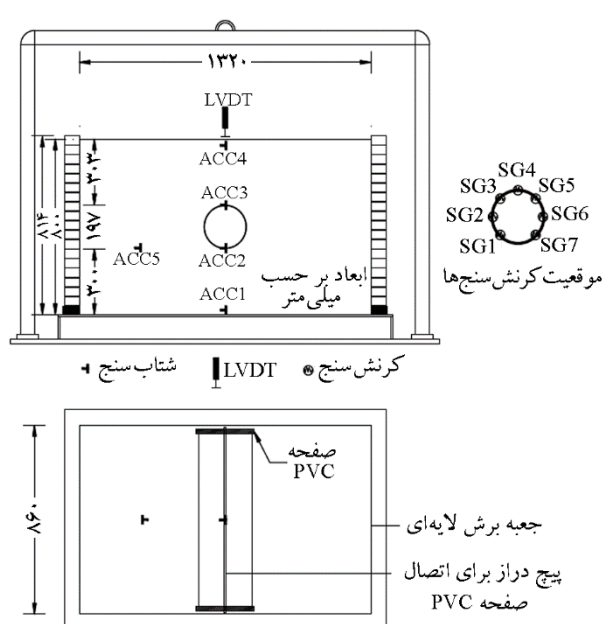
که در آن  $(V_s)_p$  و  $(V_s)_m$  به ترتیب سرعت موج برشی در نمونه اصلی و مدل می‌باشد. واضح است سختی خمشی تونل سگمنتی شبیه تونل پیوسته یا تونل با تعداد مفصل‌های ثابت در موقعیت معین نیست. چندین روش برای در نظر گرفتن تأثیر درزهای سگمنتی روی سختی خمشی پوشش تونل پیشنهاد شده است. در روش محاسبه متداول اصلاح شده برای در نظر گرفتن کاهش سختی در درزهای سگمنتی، یک نسبت انتقال لنگر خمشی ( $\gamma$ ) معرفی می‌شود. این نسبت با اصلاح مدول الاستیک رینگ برای تحلیل استفاده می‌شود. در این روش، بعد از اصلاح مدول الاستیک رینگ با ضریب  $\gamma$ ، بارهای اعمالی روی پوشش محاسبه می‌شوند. سپس مقدار لنگر خمشی بهوسیله افزایش مقدار برای سگمنت یا کاهش برای درزها با همان ضریب  $\gamma$  اصلاح می‌شوند. مقدار پارامتر  $\gamma$  بین  $0/3$  تا  $0/5$  به عنوان تابعی از تعداد سگمنت‌ها و سختی زمین اطراف متغیر است [۱۴]. انجمان مهندسین عمران راپن مقدار کاهش سختی سازه خطی پیوسته را بین  $20$  تا  $40$  درصد توصیه می‌کنند. با فرض ضریب اصلاح  $\gamma = 0/3$  برای مدول یانگ بتون، مدول واقعی بایستی مطابق معادله (۳) محاسبه شود [۱۵].

$$E_C = (1 - \xi) \times E_{CLS} = (1 - 0.3) \times E_{CLS} = 0.7E_{CLS} \quad (3)$$

که در آن  $E_C$  مدول مجازی رینگ و  $E_{CLS}$  مدول بتون می‌باشد.

برای اندازه‌گیری تراکم نسبی در لایه‌های مختلف خاک از قالب‌های کوچکی که در ترازهای مختلف قرار داده شده بودند استفاده شد. در حین تراکم و بعد از اتمام آزمایش وزن مخصوص ماسه جای گرفته در داخل قالب اندازه‌گیری شده و با توجه به وزن مخصوص خشک ماکزیم و مینیم، درجه تراکم محاسبه می‌گردد.

در طی ساخت مدل چندین ابزار اندازه‌گیری مختلف برای بررسی رفتار تونل و خاک در آزمایش‌ها استفاده شد. ابزارهای نصب شده شامل ستار سنج‌ها<sup>۳</sup>، کرنش سنج‌ها<sup>۴</sup> و مدل تفاضلی متغیر خطی<sup>۵</sup> (LVDT) بودند. شکل (۵) طرح نهایی مدل و ابزارهای نصب شده را نشان می‌دهد. پنج ستار سنج برای اندازه‌گیری ستار در خاک و تونل استفاده شدند. ستار سنج‌ها در کف و ارتفاع‌های ۳۰، ۵۰ و ۸۰ سانتی‌متر از کف جعبه برش لایه‌ای قرار داده شدند. ستار سنج اول که در کف جعبه قرار داده شد جهت اندازه‌گیری ستار ورودی به سیستم استفاده گردید. ستار سنج دوم در ارتفاع ۳۰ سانتی‌متری از کف در زیر تونل قرار داده شد.



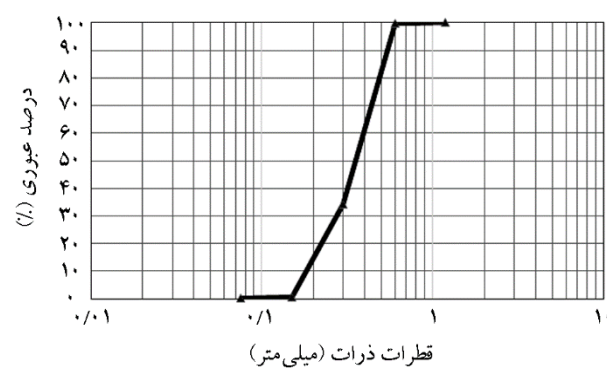
شکل (۵): طرح شماتیک پیکربندی و ابزاربندی مدل و جانمایی کرنش سنج‌ها بر روی پوشش مدل فیزیکی.

#### ۴-۲- مشخصات خاک مدل

ماسه یکنواخت که از منطقه قوم تپه در نزدیکی شهر تبریز تهیه شده بود در این مطالعه استفاده شده است. مشخصات اصلی این ماسه یکنواخت در جدول (۲) آورده شده است. همچنین منحنی دانه‌بندی این خاک در شکل (۴) نشان داده شده است.

جدول (۲): مشخصات اصلی ماسه قوم تپه.

SP	طبقه‌بندی نمونه
۲/۶۴	چگالی ویژه
۳۳	زاویه اصطکاک داخلی (درجه)
.	چسبندگی ( $\text{kN}/\text{m}^3$ )
۲/۱۷	ضریب یکنواختی
۱/۰۴	ضریب خمیدگی
۱۴/۶۰	مینیموزن مخصوص خشک ( $\text{kN}/\text{m}^3$ )
۱۷/۳۸	ماکزیموزن مخصوص خشک ( $\text{kN}/\text{m}^3$ )



شکل (۴): منحنی دانه‌بندی ماسه قوم تپه.

#### ۵-۲- آماده‌سازی نمونه‌ها و ابزار‌گذاری مدل‌ها

مدل ماسه با ارتعاش نمونه روی میز لزره با یک فرکانس و دامنه ثابت تا رسیدن به تراکم مورد نظر ( $\text{Dr}=65\%$ ) ساخته شد.

شامل فرکانس ۱، ۳، ۵ و ۸ هرتز و ماکریم دامنه شتاب ۰/۳۵g و ۰/۵g بودند (به دلیل محدودیت جایه‌جایی ماکریم میز، فرکانس ۱ هرتز و ۰/۵g اعمال نگردید). مدت زمان تحریک پایه در امواج هارمونیک برای تمامی مدل‌ها ۵ ثانیه در نظر گرفته شد. باید یادآوری نمود که این حرکات ورودی، تحریکات موج برشی داخل صفحه نسبت به مقطع تونل را شبیه‌سازی می‌کنند.

### ۳- تحلیل نتایج آزمایش‌های مدل میدان آزاد<sup>۲</sup> (FF) و مدل خاک-تونل<sup>۴</sup> (SF)

همان‌طوری که اشاره شد، هشت مدل ساخته شده تحت بارگذاری نامنظم و دینامیکی سینوسی قرار گرفتند. داده‌های بدست آمده از سیستم ثبت داده‌ها به پارامترهای فیزیکی مانند شتاب، کرنش و جایه‌جایی تبدیل شدند.

#### ۱-۳- تعیین فرکانس‌های طبیعی مدل‌ها

در شکل (۷) امواج نامنظم (نویز سفید)<sup>۹</sup> اعمال شده به هر دو مدل میدان آزاد (FF) و خاک-تونل (SF) به همراه طیف فوریه<sup>۱۰</sup> آنها آورده شده است. همان‌طوری که مشاهده می‌شود میز لرزه توانسته است امواج ورودی را به طور تقریباً یکسانی برای هر دو مدل FF و SF تولید نماید. با توجه به تبدیل فوریه امواج نامنظم اعمال شده فرکانس طبیعی میدان آزاد ۱۶/۴ هرتز و فرکانس طبیعی سیستم تونل-خاک ۱۵/۵ هرتز می‌باشد.

از نظر تئوری، فرکانس مدل آمیز میز لرزه به مدل خاک طبق رابطه ارائه شده توسط کرامر (رابطه ۴) به دست می‌آید [۱۶]:

$$f_n = \frac{(2n-1)V_S}{4H} \quad (4)$$

که در آن  $n$  شماره مدل،  $V_S$  سرعت موج برشی متوسط و  $H$  عمق ستون خاک می‌باشد. با توجه به مشخصات و ابعاد نمونه مورد آزمایش مقدار فرکانس طبیعی برای  $n=1$  از رابطه (۴) برابر با ۲۸/۱ هرتز به دست می‌آید که با مقدار به دست آمده از آزمایش نویز سفید متفاوت می‌باشد.

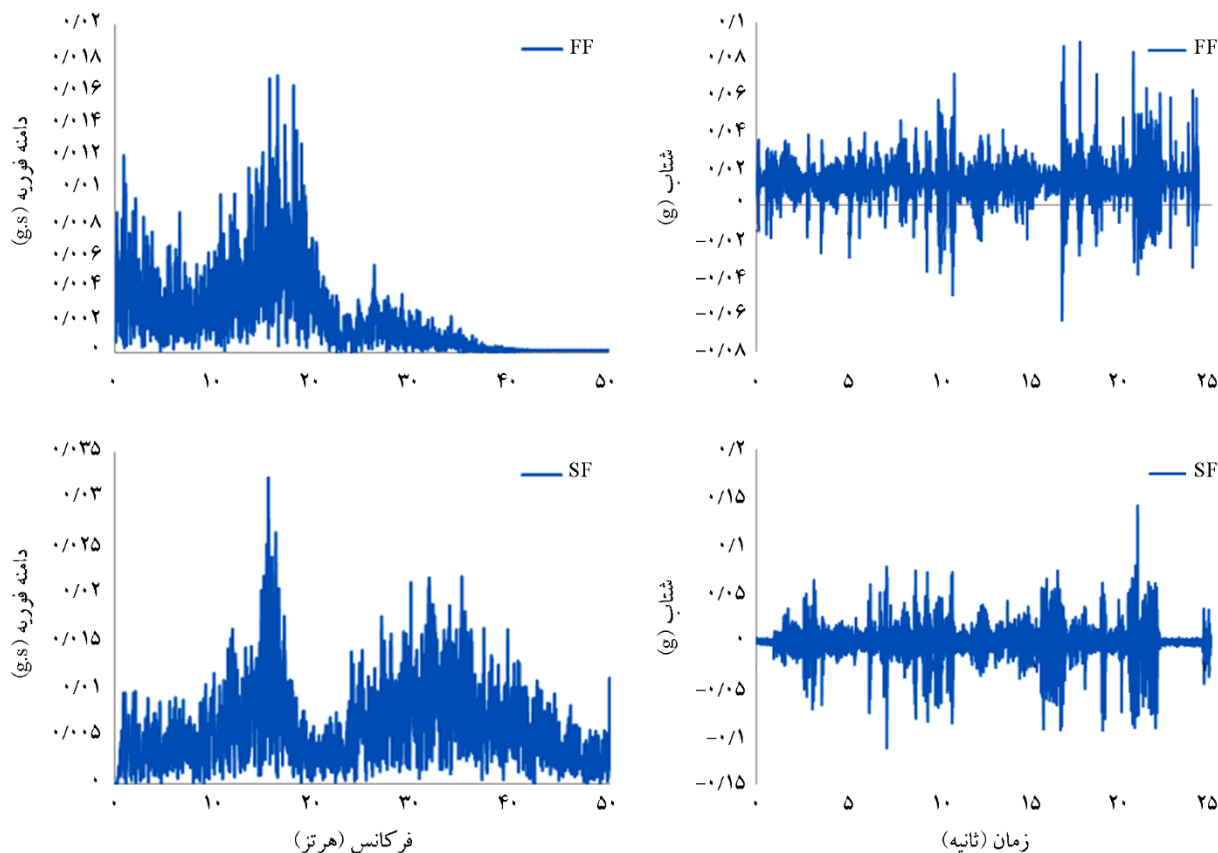
شتاب‌سنج سوم در ارتفاع ۵۰ سانتی‌متری از کف در بالای تونل و شتاب‌سنج چهارم در ارتفاع ۸۰ سانتی‌متری از کف در سطح خاک در امتداد خط مرکزی تونل قرار داده شد. همچنین شتاب‌سنج پنجم جهت مفایسه در ارتفاع ۵۰ سانتی‌متری از کف در داخل خاک قرار داده شد. به منظور اندازه‌گیری نشست خاک تحت بارگذاری دینامیکی دو LVDT در بالای مدل تونل قرار داده شد. کرنش‌سنج‌ها نیز برای اندازه‌گیری کرنش‌های خمشی مدل در هفت نقطه روی سطح خارجی تونل چسبانده شدند. تمامی ابزارهای نصب شده با دقت کافی قبل از هر آزمایش کالیبره شده و بعد از انجام آزمایش نیز کنترل شدند. توسط یک دیتالاگر<sup>۶</sup> دینامیکی ۳۲ کاناله تمام داده‌های اندازه‌گیری شده ثبت و به کامپیوتر انتقال داده شد. در شکل (۶) مراحل آماده‌سازی مدل و نمونه آمده شده برای آزمایش نشان داده شده است.



شکل (۶): مراحل آماده‌سازی مدل و نمونه آمده شده برای آزمایش.

#### ۲-۶- تحریک‌های اعمال شده توسط میز لرزه به مدل‌ها

تعداد هشت تحریک توسط میز لرزه در قالب دو دسته امواج هارمونیک با دامنه بالا و امواج نامنظم با محتوای فرکانسی بالا و دامنه کم به هر مدل اعمال و شتاب ورودی توسط شتاب‌سنج ACC1 ثبت گردید. امواج نامنظم با محتوای فرکانسی تا ۵۰ هرتز ولی با دامنه کم تا ۰/۱۵g بوده ولی امواج هارمونیک



شکل (۷): تابع شتاب و طیف فوریه مدل‌های FF و SF برای تحریک‌های ورودی نامنظم در مقیاس مدل.

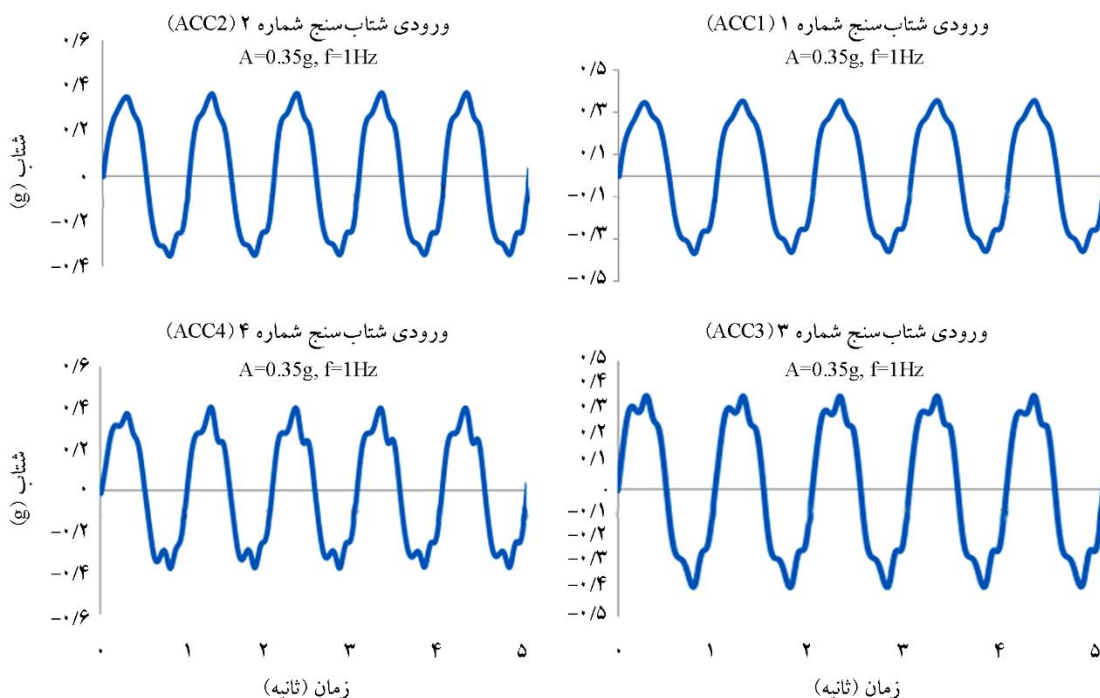
یک فیلتر ضربه-پاسخ بی‌نهایت<sup>۱۴</sup> است که به عنوان یک فیلتر پالاینده<sup>۱۵</sup> بین فرکانس‌های ۰/۲ و ۵۰ هرتز عمل می‌کند. این انتخاب برای حذف پایین‌ترین و بالاترین فرکانس‌ها پذیرفته شده است که عدد اولی منتسب به انحراف سیگنال شتاب‌سنج و عدد آخری مربوط به نویز الکتریکال ثبت شده می‌باشد. تعدادی از نمودارهای تاریخچه زمانی شتاب افقی ثبت شده به وسیله شتاب‌سنج‌ها برای شتاب ۰/۳۵g و فرکانس ۱ و ۳ هرتز، همچنین شتاب ۰/۵۰g و فرکانس ۳ و ۵ هرتز در شکل‌های (۸) تا (۱۱) نشان داده شده است.

زمانی که هر سیگنال به طور صحیح پردازش شد، شتاب ماکریم به عنوان مقدار ماکریم سیکل‌های نیم‌دامنه در تاریخچه زمانی شتاب مشخص گردید. تفاوت‌های قابل ملاحظه‌ای بین این مقادیر و میانگین نیم‌دامنه روی سیکل‌ها مشاهده نشد. داده‌های هفت بار گذاری هارمونیک اعمال شده در شکل (۱۲) خلاصه بندی

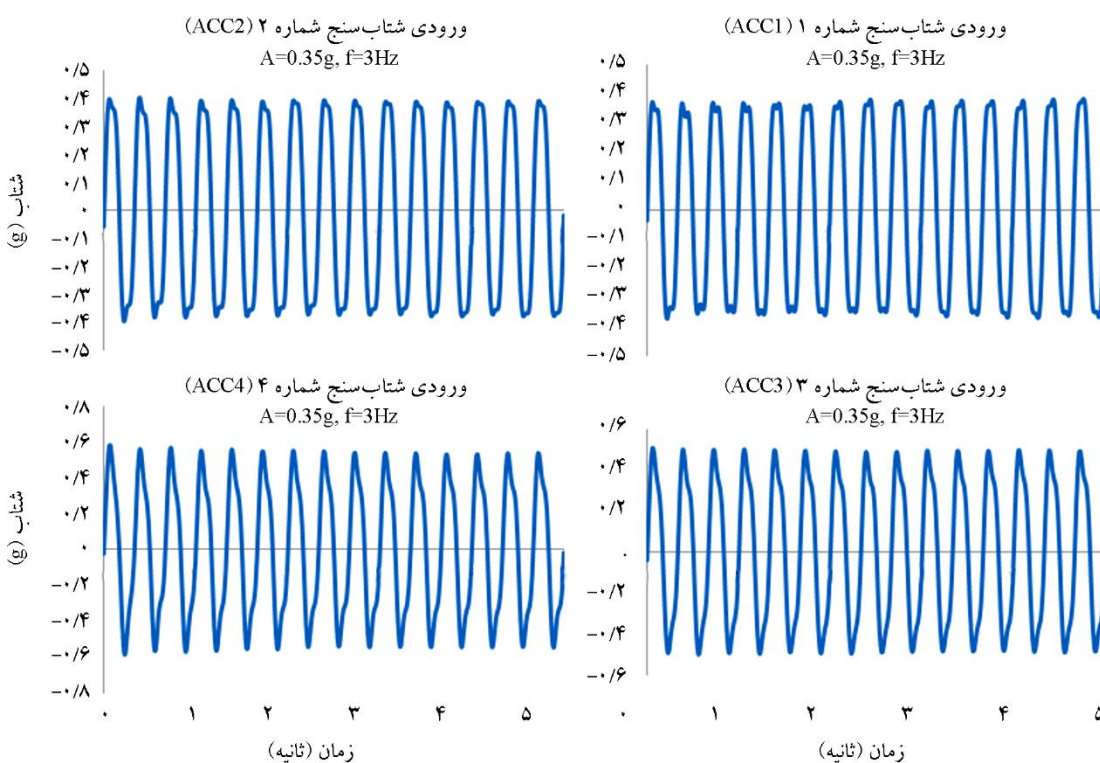
### ۲-۳- تحلیل و مقایسه نتایج شتاب‌ها

هر چند که تاریخچه زمانی ثبت شده به وسیله شتاب‌سنج افقی در کف صلب مدل به عنوان موج‌های سینوسی تک‌فرکانسی در نظر گرفته شده بودند، ولی سیگنال‌های ثبت شده شبه‌هارمونیک بوده و دارای برخی ویژگی‌های خاصی هستند که در حوزه زمانی قابل مشاهده است.

برای تفسیر نتایج آزمایش‌ها بر حسب ضریب تقویت زمین، تمامی نمودارهای تاریخچه زمانی شتاب به مرکز صفر به وسیله مقیاس آنها نسبت به خط پایه انحرافی<sup>۱۶</sup> تبدیل شدند و از قسمت‌های ثبت شده زمانی قبل و بعد از مدت زمان سیگنال صرف نظر شد. یک اصلاح خط پایه<sup>۱۷</sup> با قانون خطی به سیگنال ورودی اعمال شد. این اصلاح برای به دست آوردن یک مقدار متمایل به صفر در انتهای تاریخچه زمانی سرعت و جابه‌جاوی مؤثر بود. فیلتر فرکانس از مرتبه چهار از نوع با ترورث<sup>۱۸</sup> بود که



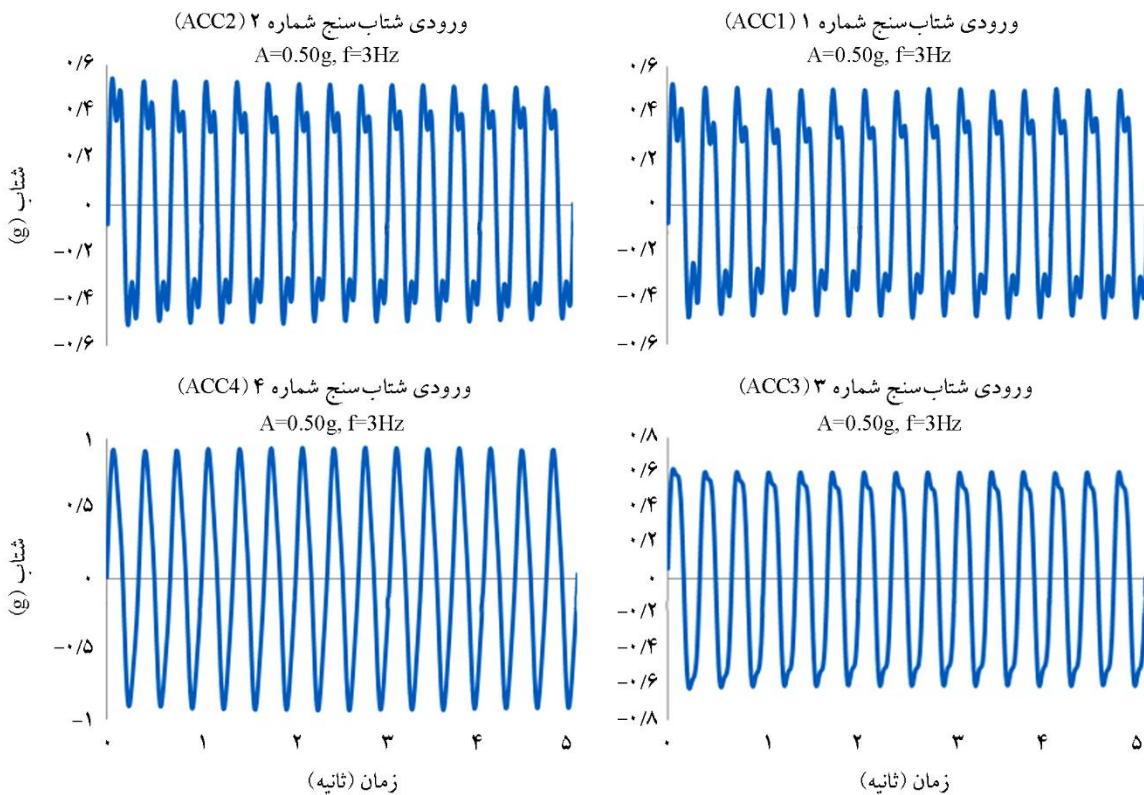
شکل (۸): نمودارهای تاریخچه زمانی شتاب ثبت شده برای  $f=1\text{Hz}$  و  $A=0.35g$



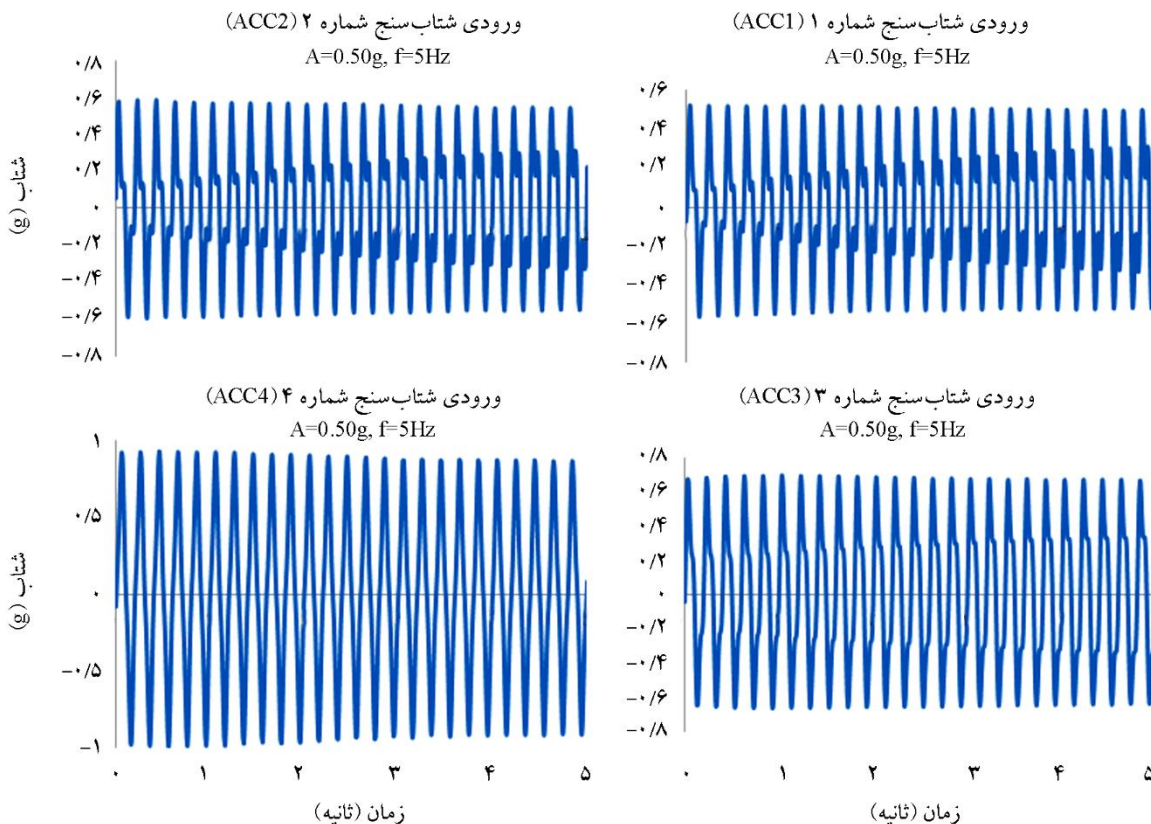
شکل (۹): نمودارهای تاریخچه زمانی شتاب ثبت شده برای  $f=3\text{Hz}$  و  $A=0.35g$

شده‌اند. این نسبت‌ها برای بررسی تأثیر محل حفره تونل روی گسترش قائم امواج برشی تعریف شده‌اند. شکل (۱۲) نشان می‌دهد

شده‌اند که بر حسب نسبت شتاب ماکزیمم اندازه‌گیری شده به وسیله شتاب سنج‌های بالا و پایین تونل در آرایش قائم رسم



شکل (۱۰): نمودارهای تاریخچه زمانی شتاب ثبت شده برای  $f=3\text{Hz}$  و  $A=0.50\text{g}$



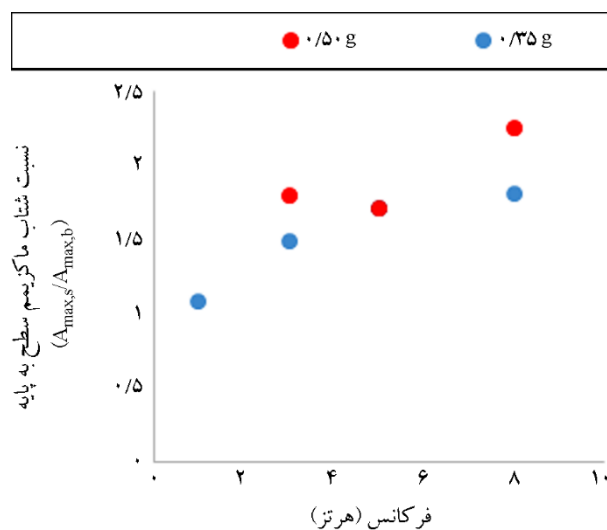
شکل (۱۱): نمودارهای تاریخچه زمانی شتاب ثبت شده برای  $f=5\text{Hz}$  و  $A=0.50\text{g}$

هر تر برای کرنش سنج های SG1، SG2 و SG3 نشان داده شده است. لنگر خمثی دینامیکی به عنوان لنگر اضافی اعمالی به پوشش تونل بعد از شروع زلزله تعریف می شود. مقادیر مثبت لنگر خمثی، افزایش تنفس کششی در سطح پوشش تونل را نشان می دهد. مقادیر اندازه گیری شده عموماً نشان می دهند که قسمت پایین تونل بیشتر از قسمت بالایی تحت فشار است که این حالت به خاطر تنفس های سرباره انتظار می رود. در طی بارگذاری دینامیکی نیروهای پوشش تونل عموماً از مقادیر استاتیکی اندازه گیری شده قبل از بارگذاری دینامیکی افزایش می یابد. چنین افزایشی که بعد از بارگذاری لرزه های غیرقابل بازگشت متراکم شدن ماسه و انباسته شدن کرنش های غیرقابل بازگشت لایه خاک اطراف تونل سازگار است. به علاوه پوشش تونل به دلیل مؤلفه برگشت پذیر کرنش بررشی خاک در طی بارگذاری در معرض سیکل های افزایش - کاهش نیروهای داخلی قرار گرفت. این نشان می دهد که هر دو مؤلفه برگشت پذیر و باقیمانده این افزایش نیروهای داخلی مربوط به مکانیسم بیضی شدگی مقطع عرضی تونل هست که به دلیل تغییر شکل لایه زمین ایجاد می شود. بنابراین توزیع لنگرهای خمثی دینامیکی بستگی به الگوی تغییر شکلی دارد که تونل بعد از شروع زلزله تجربه می کند. به علاوه مقادیر لنگر خمثی در طی زلزله در قسمت پایین پوشش تونل بزرگتر از قسمت بالایی است.

مطابق شکل های (۱۳) تا (۱۶) نمودارهای تاریخچه زمانی لنگر خمثی دینامیکی می تواند به دو قسمت اصلی تقسیم شود: مرحله ناپایدار و سیکل های حالت پایدار. تونل در طی چند سیکل اول به سمت یک مرحله تعادل تغییر شکل می دهد. مرحله دوم سیکلی بعد از شروع تا انتهای بارگذاری دینامیکی ادامه پیدا می کند.

ماکریم لنگر خمثی دینامیکی روی پوشش تونل به وسیله محاسبه مقدار قدر مطلق لنگرهای خمثی مثبت و منفی و انتخاب بزرگترین آنها پیدا می شود. بدین طریق، هر دو لنگر خمثی مثبت و منفی مد نظر قرار می گیرد. آزمایش ها نشان می دهند که ماکریم لنگر خمثی در نزدیکی تاج و شانه های مدل تونل اتفاق می افتد.

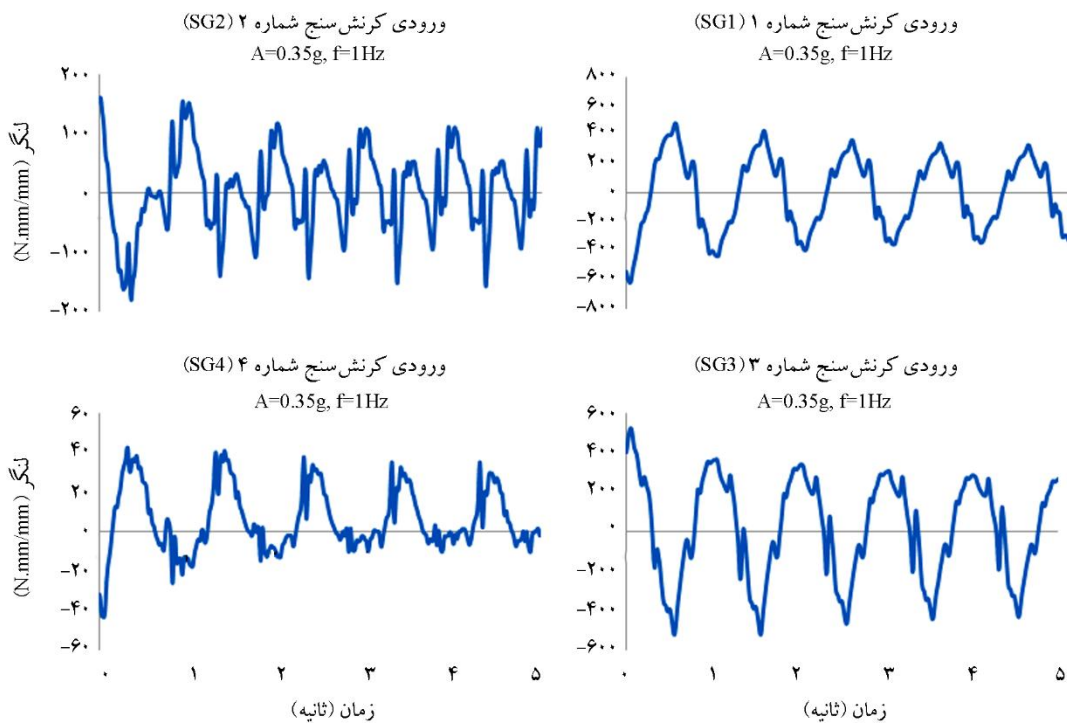
که شتاب ماکریم در بیشترین حالات به صورت یکنواخت با عمق در امتداد آرایش شتاب سنج ها کاهش می یابد. نسبت شتاب محاسبه شده در امتداد آرایش تونل عموماً بزرگتر از یک می باشد؛ که نشان دهنده تمایل مدل برای تقویت سیگنال پایه در حال حرکت به سطح زمین در امتداد آرایش تونل می باشد که در شکل (۱۲) می توان مشاهده نمود. به عنوان یک واقعیت، شتاب ماکریم اندازه گیری شده در سطح بالای تونل بزرگتر از پایین تونل است. همچنین شتاب سنج پایین زیر تونل که به کف صلب مدل متصل نشده است، همیشه مقادیر بزرگتر از شتاب را نسبت به شتاب سنج کف اندازه گیری کرده است که این یک دلیل احتمالی از تنفس غیریکنواخت در امتداد تونل به دلیل اثرات قوس زدگی و همچنین تأثیر مرز حفره تونل می باشد که امواج بررشی قسمت پایین را به سمت بالا منتشر می کند.



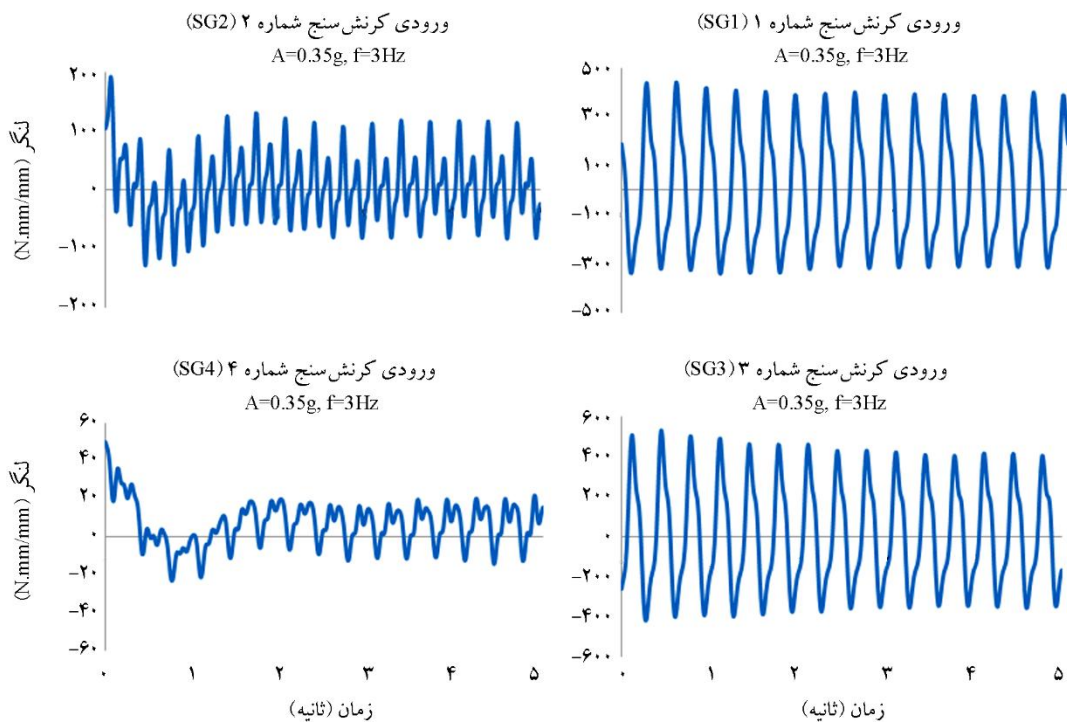
شکل (۱۲): نسبت تشدید برای شتاب افقی برای آزمایش های انجام شده.

### ۳-۳- تحلیل نتایج حاصل از کرنش سنج ها

نتایج آزمایشگاهی نیروهای داخلی در مقطع وسط پوشش تونل از کرنش سنج ها در طی هر آزمایش به دست آمد. تعدادی از نمودارهای تاریخچه زمانی لنگر خمثی در شکل های (۱۳) تا (۱۶) در مقیاس مدل، برای بارگذاری های مربوط به شتاب ۰/۳۵g و فرکانس ۱ و ۳ هرتز، همچنین شتاب ۰/۵۰g و فرکانس ۳ و ۵



شکل (۱۳): نمودارهای تاریخچه زمانی لنگر ثبت شده در نقاط مختلف مدل تونل برای  $f=1\text{Hz}$  و  $A=0.35\text{g}$



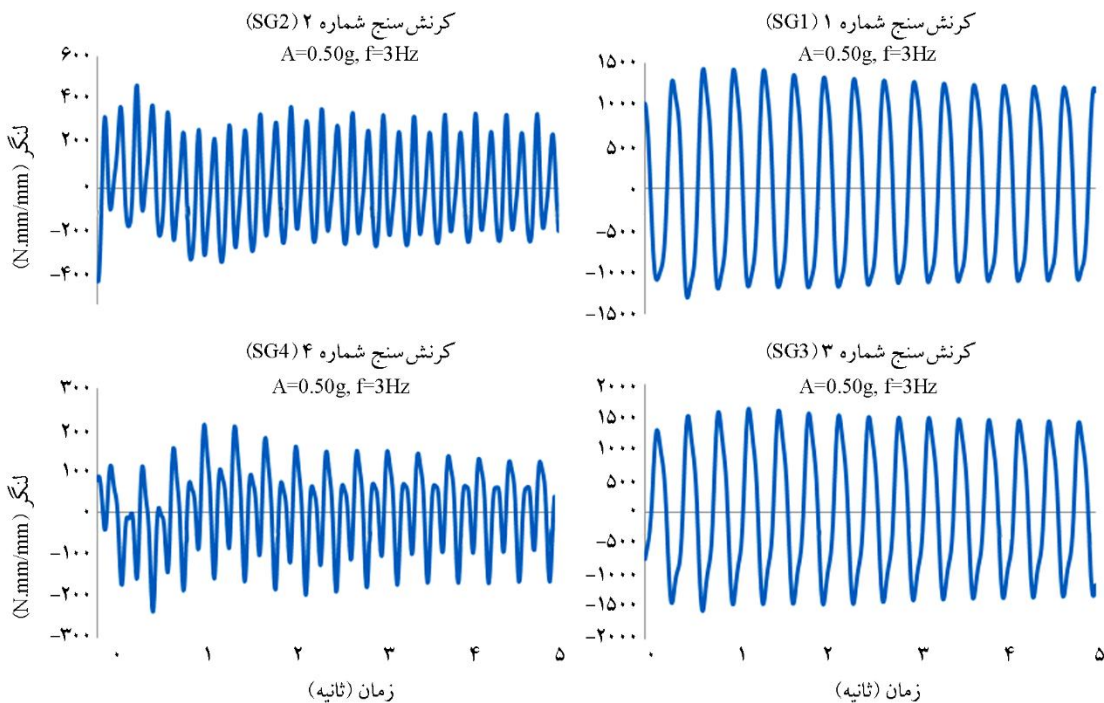
شکل (۱۴): نمودارهای تاریخچه زمانی لنگر ثبت شده در نقاط مختلف مدل تونل برای  $f=3\text{Hz}$  و  $A=0.35\text{g}$

$$M_{\text{prototype}}/M_{\text{model}} = \lambda^3 \cdot \lambda_p \quad (5)$$

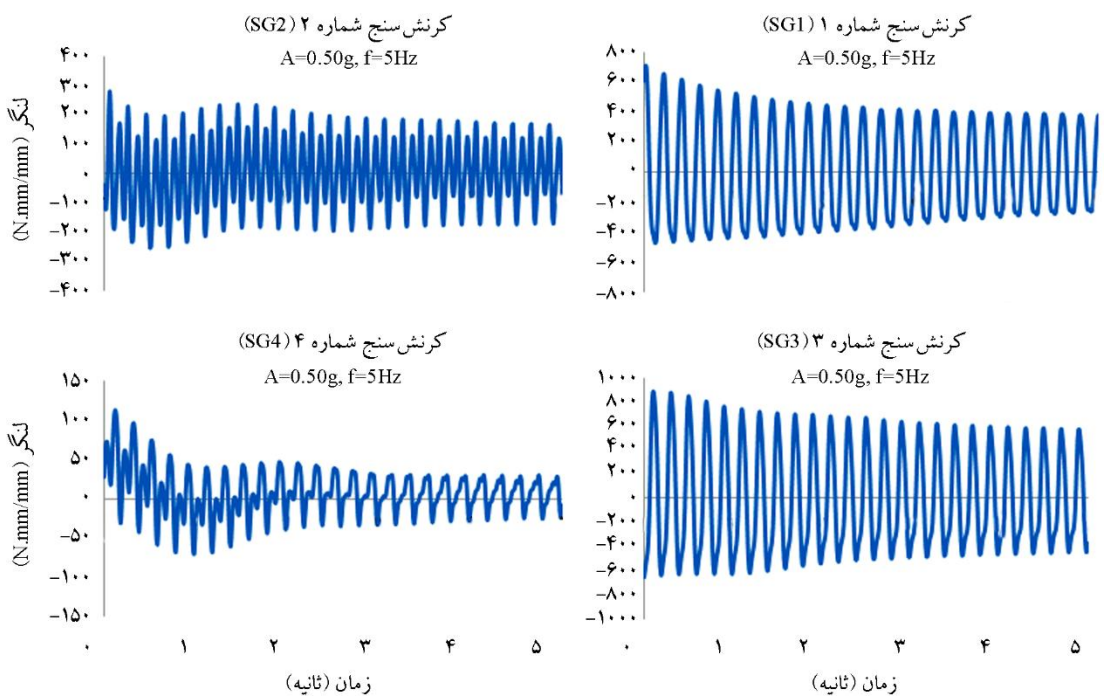
که در آن  $M_{\text{prototype}}$  لنگر خمسمی در نمونه اصلی،  $M_{\text{model}}$  لنگر

لنگر خمسمی دینامیکی در نمونه اصلی را می‌توان طبق معادله (۵)

به دست آورد [۱۷]:



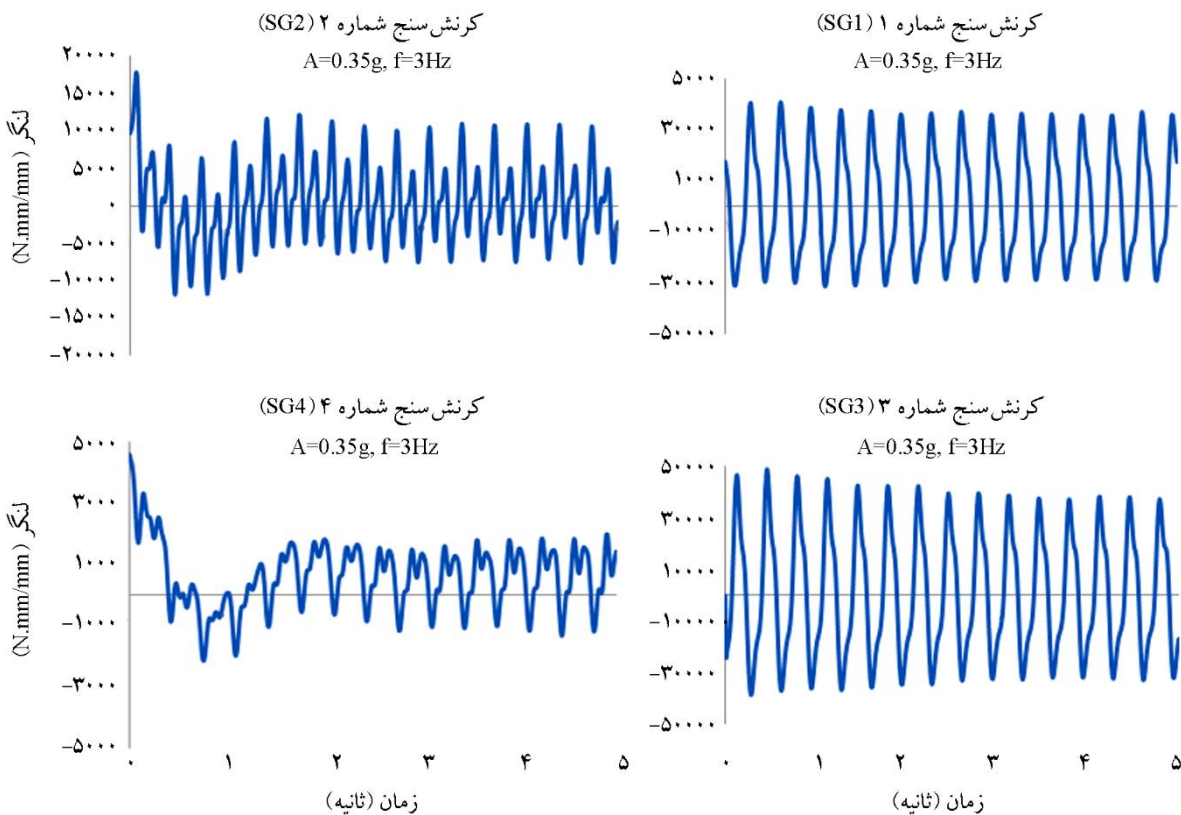
شکل (۱۵): نمودارهای تاریخچه زمانی لنگر ثبت شده در نقاط مختلف مدل تونل برای  $f=3\text{Hz}$  و  $A=0.50\text{g}$



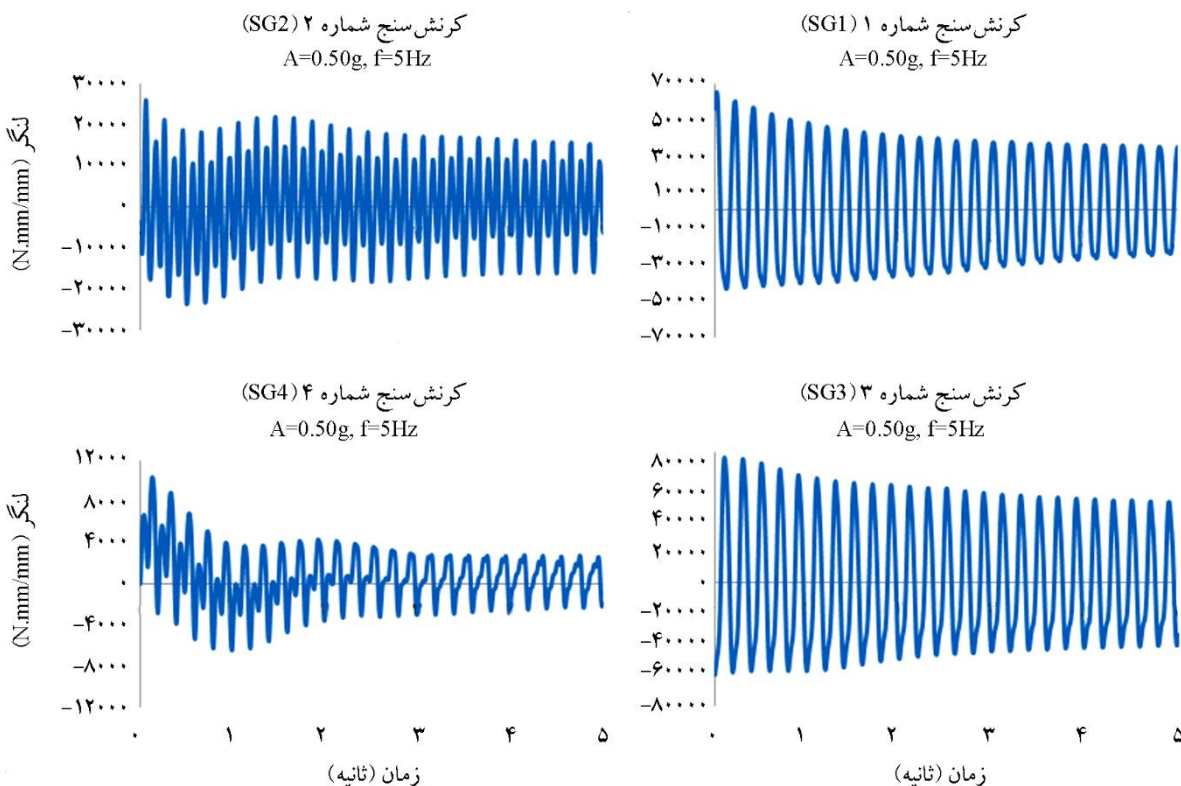
شکل (۱۶): نمودارهای تاریخچه زمانی لنگر ثبت شده در نقاط مختلف مدل تونل برای  $f=5\text{Hz}$  و  $A=0.50\text{g}$

حالات ( $f=5\text{Hz}$  و  $A=0.50\text{g}$ ) و ( $f=3\text{Hz}$  و  $A=0.35\text{g}$ ) اورده شده است. با مقایسه نتایج هفت آزمایش انجام شده، ما کریم لنگر در محل SG5 مربوط به بارگذاری  $f=3\text{Hz}$  و  $A=0.50\text{g}$

خمشی در مدل،  $\lambda$  و  $\lambda_p$  ضرایب مقیاس هندسه و دانسیته ( $\lambda=45$  و  $\lambda_p=1$ ) میباشند. لنگرهای دینامیکی در نمونه اصلی در محل کرنش سنج های ۱، ۲، ۳ و ۴ در شکل های (۱۷) و (۱۸) برای دو



شکل (۱۷): نمودارهای تاریخچه زمانی لگر در نمونه اصلی در محل کرنش سنج های SG1، SG2، SG3 و SG4 برای  $f=3\text{HZ}$  و  $A=0.35g$



شکل (۱۸): نمودارهای تاریخچه زمانی لگر در نمونه اصلی در محل کرنش سنج های SG1، SG2، SG3 و SG4 برای  $f=5\text{HZ}$  و  $A=0.50g$

نمونه اصلی، لنگر ترک خوردگی برابر با  $80$  کیلونیوتن- متر و لنگر ضریب دار برابر با  $129/9$  کیلونیوتن- متر می باشد. با توجه به نتایج به دست آمده، مقدار لنگر دینامیکی در آزمایش های با دامنه بزرگ تر بیشتر از لنگر ترک خوردگی می باشد. این لنگر دینامیکی در ترکیب با اثرات بارهای دیگر ممکن است باعث ایجاد آسیب های جدی سازه ای در توپل گردد.

در شکل (۱۹) لنگر ماکریم ایجاد شده در محل کرنش سنج های  $۱$ ،  $۲$ ،  $۳$  و  $۴$  در برابر فرکانس های مختلف اعمال شده به سیستم رسم شده است. همان طور که در نمودارها دیده می شود برای  $A=0.35g$  لنگر ماکریم با افزایش فرکانس، ثابت بوده یا اندکی کاهش می یابد؛ اما برای  $A=0.50g$  لنگر خمی می کرند با افزایش فرکانس، به شدت برای تمام کرنش سنج های کاهش می یابد. بنابراین حالت دامنه شتاب ماکریم با فرکانس پایین، لنگر خمی و تغییر شکل های بیشتری را در توپل زیرزمینی ایجاد می کند.

می باشد که این لنگر برابر با  $1643$  نیوتون- میلی متر بر میلی متر در مدل و  $1497$  کیلونیوتن- متر بر متر در نمونه اصلی می باشد.

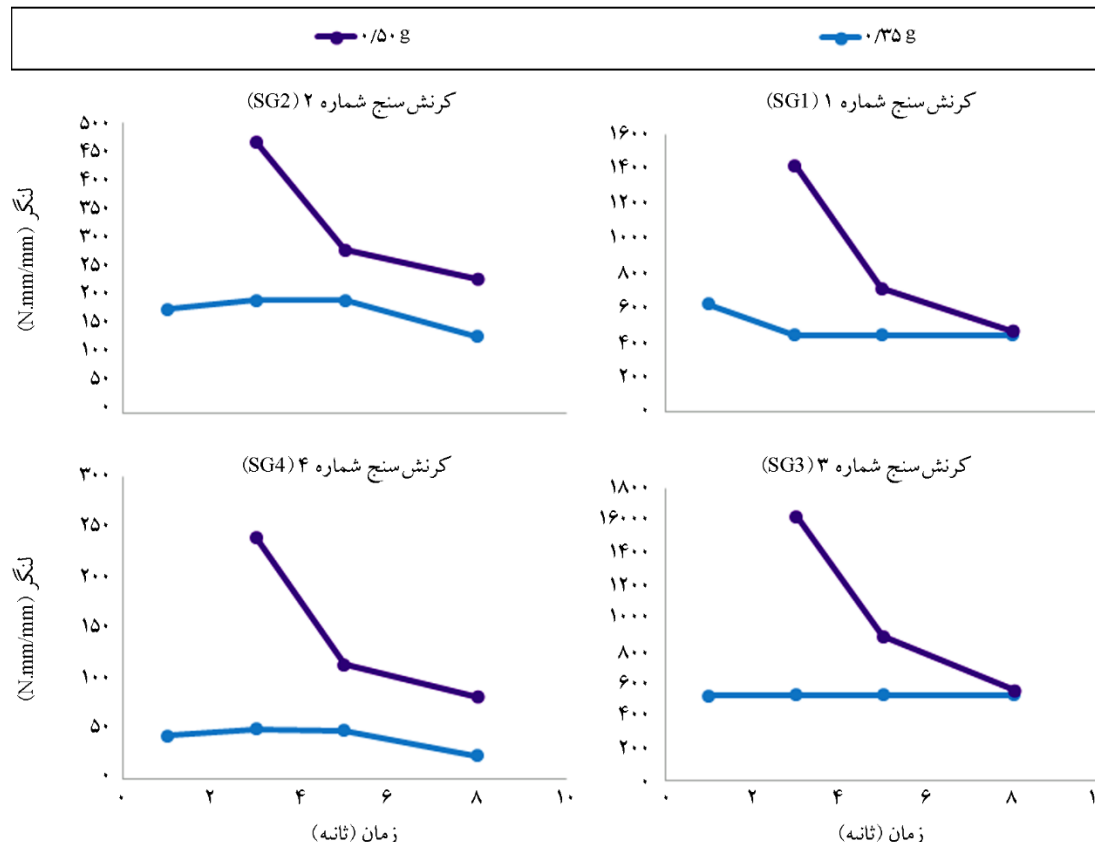
طبق آیین نامه (ACI 2015) لنگرهای ترک خوردگی و ضریب دار در پوشش بتی طبق معادلات (۶) و (۷) محاسبه می شود:

$$M_{cr} = f_r \cdot I_g / (h/2) \quad (6)$$

که در آن  $f_r$  مدول گسیختگی بتن،  $I_g$  ممان اینرسی مقطع بتی نسبت ناخالص و  $h$  ضخامت کل عضو می باشد.

$$M_u = \varphi \cdot M_n = \varphi \cdot A_s \cdot f_y \cdot (d - a/2) \quad (7)$$

در این رابطه  $\varphi$  ضریب کاهش خمی،  $M_n$  مقاومت خمی اسمی در مقطع،  $A_s$  مساحت آرماتورهای کششی طولی  $f_y$ ، تنש تسلیم آرماتورها،  $d$  فاصله از دورترین تار فشاری تا مرکز آرماتورهای کششی طولی و  $a$  ارتفاع بلوك تنش مستطیلی معادل است. با در نظر گرفتن مشخصات مقطع پوشش سازه ای



شکل (۱۹): قدر مطلق لنگر خمی ماکریم ایجاد شده در برابر فرکانس ورودی برابر کرنش سنج های SG1، SG2، SG3 و SG4

پاسخ یکنواخت توده ماسه زیر تراز تونل کنترل می‌شود.

#### ۴- نتایج مشاهدات آزمایشگاهی

در این مطالعه، پاسخ لرزه‌ای تونل دایروی در ماسه خشک به وسیله آزمایش‌های میز لرزه دینامیکی بررسی شد. پارامترهای مهم که روی پاسخ لرزه‌ای تونل تأثیر می‌گذارند مانند شتاب ماکریم زمین و فرکانس غالب زلزله در طی برنامه آزمایشگاهی بررسی شدند. داده‌های ثبت شده ویژگی‌های مهمی از پاسخ دینامیکی سازه‌های زیرزمینی از نوع تونل را مشخص کردند.

نتایج اصلی این مطالعه طبق موارد زیر خلاصه بندی می‌شود:

۱- پاسخ زمین در مدل میدان آزاد و مدل خاک- تونل متفاوت است و فرکانس طبیعی میدان آزاد اندکی بیشتر است.

۲- شتاب افقی ثبت شده در چندین تراز نشان می‌دهد که تقویت سطحی به وسیله حفره تونل که به عنوان مانع در جهت گسترش امواج برಶی به سمت بالا عمل می‌کند، انجام می‌گیرد.

۳- صرف نظر از فرکانس‌های آزمایش، افزایش شتاب پایه باعث افزایش تغییر شکل‌های بیشتر تونل می‌گردد.

۴- نتایج آزمایش‌های میز لرزه نشان می‌دهد که رفتار دینامیکی تونل‌های دایروی می‌تواند به دو مرحله تقسیم‌بندی شود: مرحله ناپایدار و سیکل‌های حالت پایدار. در طی حالت ناپایدار که در طی چندین سیکل اول رخ می‌دهد، سازه تونل به حالت تعادل دینامیکی می‌رسد. مرحله ناپایدار به وسیله سیکل‌های حالت پایدار دنبال می‌شود که در طی آن نیروها در پوشش تونل حول مقدار میانگین نوسان می‌کند.

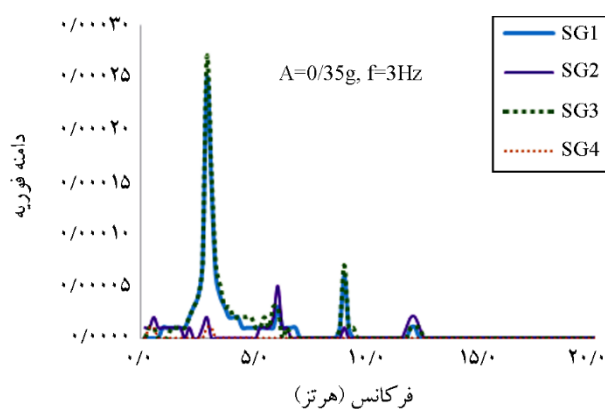
۵- اندازه‌گیری‌های انجام شده با آزمایش‌های میز لرزه نشان می‌دهد که بلافاصله بعد از شروع زلزله تونل از حالت تعادل استاتیکی به حالت تعادل دینامیکی حرکت می‌کند.

۶- برای تمام آزمایش‌های تونل، لنگر خمشی و تغییر شکل‌های تونل با افزایش ماکریم شتاب پایه افزایش می‌یابد، اما محل کمترین و بیشترین مقادیر لنگر ثابت می‌ماند.

۷- در زلزله‌های با دامنه بالا، لنگر دینامیکی ایجاد شده در پوشش

با توجه به نتایج به دست آمده، در شتاب‌های بالا، رفتار غیرخطی ماسه باعث افزایش ناحیه پلاستیک پیش‌رونده خاک در اطراف تونل و در نتیجه افزایش بار قائم منتقل شده به پوشش تونل می‌گردد. در نتیجه لنگر خمشی پوشش تونل به دلیل بیضی‌شدگی مقطع به طور چشمگیری تغییر پیدا می‌کند. همچنین با افزایش شتاب وارد، افزایش ماکریم نیروهای پوشش در حین زلزله نیز مشاهده می‌شود.

در شکل (۲۰) تغییرات کرنش خمشی در موقعیت کرنش‌سنج‌های شماره ۱، ۲، ۳ و ۴ در حوزه فرکانسی برای حالت  $A=0.35g$  و  $f=3Hz$  رسم شده است. اختلاف کمی بین فرکانس اعمال شده به سیستم و فرکانس غالب تونل وجود دارد. همان‌طوری که در شکل نشان داده است، فرکانس غالب تونل  $2.9Hz$  می‌باشد. این نشان‌دهنده اثر تونل روی فرکانس تحملی به سیستم می‌باشد؛ بنابراین پاسخ تونل کمی متفاوت از حرکات زمین اطرافش می‌باشد.



شکل (۲۰): منحنی پاسخ کرنش‌های خمشی (SG1، SG2، SG3 و SG4) برای  $A=0.35g$  و  $f=3Hz$

به وسیله LVDT نشست سطحی خاک در بالای تونل در طی زلزله اندازه‌گیری شد. نشست‌های کوچکی از زمین در سطح خاک در طی زلزله به دلیل دانسیته بالای خاک مورد مطالعه ثبت شد. به علاوه آزمایش‌ها نشان دادند که نشست سطح خاک با افزایش PGA افزایش می‌یابد. نشست‌های خاک اساساً به وسیله

- Tunnels. *Canadian Geotechnical Journal*, **48**(1), 117-127.
5. Cilingir, U. and Madabhushi, S. P. G. (2011b) A model study on the effects of input motion on the seismic behavior of tunnels. *Journal of Soil Dynamics and Earthquake Engineering*, **31**, 452-462.
6. Yang, D., Naesgaard, E., Byrne, P.M., Adalier, K., and Abdoun, T. (2004) Numerical model verification and calibration of George Massey tunnel using centrifuge models. *Canadian Geotechnical Journal*, **41**, 921-942.
7. Cao, J. and Huang, M.S. (2010) Centrifuge Tests on the Seismic Behavior of a Tunnel, *Proceedings of the 7<sup>th</sup> International Conference on Physical Modelling in Geotechnics*. 7<sup>th</sup> ICPMG, Zurich, Switzerland, **1**, 537-542.
8. Lanzano, G., Bilotta, E., Russo, G., Silvestri, F., and Madabhushi, S.P.G. (2012) Centrifuge modelling of seismic loading on tunnels in sand. *Geotechnical Testing Journal*, **35**(6), 854-869.
9. Luzhen, J., Jun, Ch., Jie, L. (2010) Seismic response of underground utility tunnels: shaking table testing and FEM analysis. *Earthquake Engineering & Engineering Vibration*, **9**(4), 555-567.
10. Tsinidis, G., Pitilakis, K., Heron, Ch., Madabhushi, G. (2013) Experimental and numerical investigation of the seismic behavior of rectangular tunnels in soft soils. *4<sup>th</sup> ECCOMAS Thematic Conference on Computational Methods in Structural Dynamics and Earthquake Engineering*, Kos Island, Greece.
11. Baziari, M.H., Ghalandarzadeh, A., and Rabeti Moghadam, M. (2015) Tehran subway tunnel effect on the seismic response of the ground surface with linear soil behavior: an experimental and numerical study. *Journal of Science and Earthquake Engineering*, **2**(3), 15-36 (in Persian).
12. Katebi, H., Rezaei, A.H., Hajialilue-Bonab, M., Tarifard, A. (2015) Assessment the influence of ground stratification, tunnel and surface buildings specifications on shield tunnel lining loads (by FEM). *Journal of Tunnelling and Underground Space Technology*, **49**, 67-78.

تونل بیشتر از لنگر ترک خوردگی بوده و در ترکیب با اثرات سایر بارها می تواند منجر به آسیب های سازه ای در پوشش گردد.  
 ۸- بزرگ ترین مقادیر لنگر خمشی در وسط تاج و شانه تونل های دایروی ظاهر می شود.  
 ۹- برای ستاپ  $A=0.35g$ , با افزایش فرکанс اعمالی به سیستم، لنگر خمشی ثابت بوده و یا اندکی کاهش می یابد ولی برای  $A=0.50g$   
 لنگر ماقریزم با افزایش فرکанс بهشدت کاهش می یابد.  
 ۱۰- پاسخ سیستم تونل- خاک اندکی متفاوت از حرکت میدان آزاد می باشد و این نشان دهنده تاثیر تونل روی فرکанс اعمالی به سیستم میدان آزاد می باشد.

## تشکر و قدردانی

این تحقیق با حمایت سازمان قطار شهری تبریز انجام شده است. نویسندها این مقاله بر خود لازم می دانند مراتب تشکر و قدردانی خود را از مسئولان این سازمان بابت حمایت های صورت گرفته اعلام دارند.

## مراجع

1. Hashash, Y.M.A., Hook, J.J., Schmidt, B., and Yao, J.I-C. (2001) Seismic design and analysis of underground structures. *Journal of Tunneling and Underground Space Technology*, **16**, 247-293.
2. Onoue, A., Kazama, H., Hotta, H., Kimura, T., and Takemura, J. (1994) Behaviour of stacked-drift-type tunnels. *Proceedings of the International Conference Centrifuge 94*, Defense Technical Information Center, Singapore, Malaysia, **1**, 687-692.
3. Yamada, T., Nagatani, H., Igarashi, H., and Takahashi, A. (2002) Centrifuge Model Tests on Circular and Rectangular Tunnels Subjected to Large Earthquake-Induced Deformation. *Proceedings of the 3<sup>rd</sup> Symposium on Geotechnical Aspects of Underground Construction in Soft Ground*, Toulouse, France, **1**, 673-678.
4. Cilingir, U. and Madabhushi, S.P.G. (2011a) Effect of Depth on the Seismic Response of Circular

13. Iai, S. (1989) Similitude for shaking table tests on soil-structure-fluid model in 1g gravitational field. *Soils Foundations*, **29**(1), 105-118.
14. Guglielmetti, V., Grasso, P., Mahtab, A., Xu, S. (2007) *Mechanized Tunneling in Urban Areas: Design Methodology and Construction Control*. Taylor & Francis Group, London, UK.
15. Koyama, Y. (2003) Present status and technology of shield tunneling method in Japan. *Journal of Tunneling and Underground Space Technology*, **18**, 145-159.
16. Kramer, S.L. (1996) *Geotechnical Earthquake Engineering*. Prentice Hall, Upper Saddle River, New Jersey, USA.
17. ACI (2015) *Building Code Requirements for Structural Concrete and Commentary, ACI 318M-14*. American Concrete Institute (ACI) Committee 318.

### واژه‌نامه

Actuator	۱- جک هیدرولیکی هوشمند
Laminar Shear Box	۲- جعبه برش لایه‌ای
Accelerometer	۳- شتاب سنج
Strain Gauge	۴- کرنش سنج
Linear Variable Differential Transformer	۵- مبدل تفاضلی متغیر خطی
Data Logger	۶- دیتالاگر
Free Field	۷- میدان آزاد
Structure Field	۸- مدل خاک-تونل
White Noise	۹- نویز سفید
Fourier Spectra	۱۰- طیف فوریه
Drift Baseline	۱۱- خط پایه انحرافی
Baseline Correction	۱۲- اصلاح خط پایه
Butterworth	۱۳- باترورث
Infinite Impulse-response Filter	۱۴- فیلتر ضربه-پاسخ بینهایت
Bandpass	۱۵- پالاینده

## Experimental Study of the Seismic Response of Tabriz Subway Tunnel in Dry Sand

**Majid Farrin<sup>1</sup> and Masoud Hajjalilue-Bonab<sup>2\*</sup>**

1. Ph.D. Candidate, Faculty of Civil Engineering, University of Tabriz, Tabriz, Iran
2. Professor, Faculty of Civil Engineering, University of Tabriz, Tabriz, Iran,

\*Corresponding Author, email: hajjalilue@tabrizu.ac.ir

A series of 1 g shaking table tests were performed to investigate the response of Tabriz subway tunnel, a circle-type tunnel embedded in dry sand, under sinusoidal excitations. In prototype, the subway tunnel with 9.2 m diameter and 0.35 m thickness was embedded in a soil layer. Two reduced-scale 1 g shaking table models, designated as FF and SF, were constructed in 1/45 scale. The FF was constructed to study the seismic response of the soil layer in free field condition, while the SF model includes a subway tunnel to study its seismic response during different excitations.

The shaking table of Tabriz University with a platform of 3m×2m and one-degree of freedom was used to induce the desired excitations to models. The table can carry up to 6 tones and can reach acceleration levels up to 1.5 g with peak displacements of  $\pm 100$  mm. A laminar shear box was designed in Tabriz University that includes 20 aluminum frames with dimensions of 1320×814×860 mm (L×H×W). In order to reduce the friction between the layers and simulate the displacement of soil layers, ball bearings were used between two adjacent frames. In this box type, the lateral boundary effect on the seismic response of the soil layer is reduced.

The simulation laws for 1 g shaking table tests were utilized in the current study. Based on the simulation laws and the size of the laminar shear box, the prototype to model scale factor was considered to be 45. Therefore, the tunnel model was constructed by aluminum alloy with a diameter of 195.5 mm and thickness of 1.5 mm.

Uniform dry sand provided from Qomtapeh was used in this study. During the construction, the tunnel and all the embedded instruments were placed in the model. To avoid any interaction of the tunnel with the laminar shear box, the tunnel was selected shorter than the box width. Two PVC circular plates were placed at both the tunnel ends to avoid the sand entrance into the tunnel model. To simulate the effects of friction on the soil–tunnel interaction, the outside surface of tunnel was covered by sand particles using epoxy coating. For reaching the same target relative density ( $D_r=65\%$ ) during the construction of models, the bulk unit weight was controlled to be constant for all layers. Seven strain gauges were installed on the tunnel surface to monitor the behavior of the tunnel. Five accelerometers were placed in different levels of the model to record the acceleration in the soil. Besides, two LVDTs were placed on the top of the model to measure the soil surface settlement. A 32-channel dynamic data logger was used to record and transfer all the measured data to a personal computer.

Two types of excitation were applied to the models by shaking table: I) irregular waves with high frequency content and low amplitude to determine the natural frequency of the models, and II) harmonic waves with low frequency content and high amplitude to study the seismic response of the tunnel. Two peak ground accelerations of 0.35 g and 0.50 g with frequencies of 1, 3, 5 and 8 were applied to the models at this stage.

The recorded data highlighted significant aspects of the dynamic response for the above type of underground structures:

## Extended Abstracts

- The results show that the ground response of the free field model is different from the tunnel-soil model and the natural frequency of the free field is slightly larger than soil-tunnel model. This indicates the effect of the tunnel on the applied frequency to the system.
- The recorded horizontal accelerations at different levels indicate that accelerations are amplified towards the soil surface and the tunnel acts as an obstacle against the propagation of shear waves upward.
- According to the results, the dynamic response of circular tunnels can be split into two stages: transient stage and steady-state cycles. During the transient stage, which lasts for the first few cycles, the tunnel reaches a dynamic equilibrium configuration. The transient stage is followed by the steady-state cycles, during which the forces in the tunnel lining oscillate around a mean value.
- For all tests, bending moments and lining deformations increase by increasing in maximum base acceleration, but the location of the highest and the lowest amounts stays the same.
- According to the results, for  $A=0.35$  g, maximum bending moment is constant or reduces a little by increasing frequency; however, for  $A=0.50$  g, maximum bending moment reduces sharply by increasing of the loading frequency.

The results show that in the earthquakes with high PGA, the dynamic bending moments caused in the tunnel lining are larger than cracking moment that can lead to a serious damage to the lining in combination with other loads.

**Keywords:** Subway Tunnel, Tabriz City, Physical Modeling, Shaking Table, Seismic Response.